



上海思响信息科技有限公司

地址：上海市浦东新区东方路428号235室

邮箱：yiwen.zhu@compuTherm.com

电话：13901652239

Pandat 软件

第一期优化培训教程

第五讲

2020年7月11日

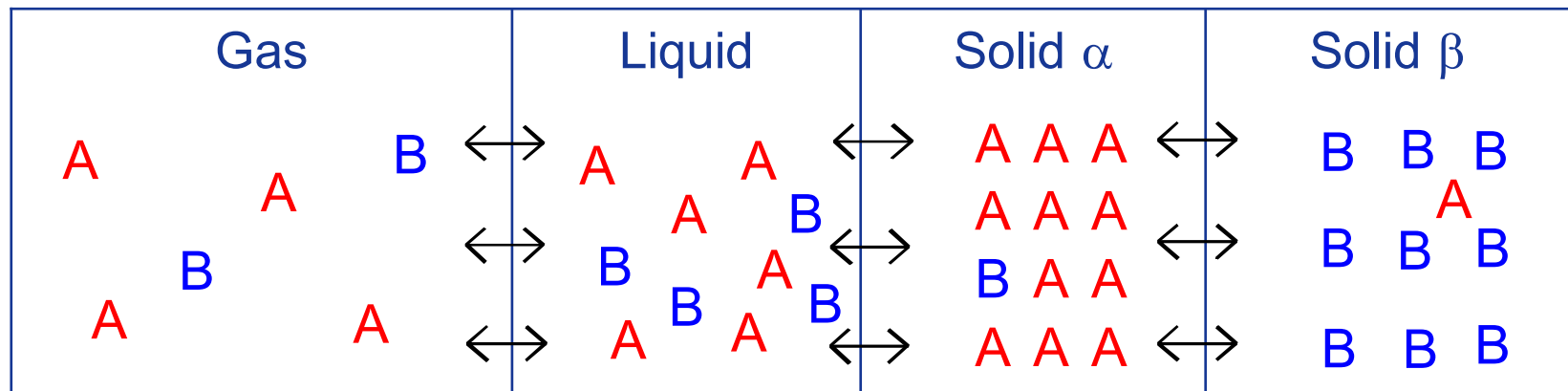
CompuTherm, LLC
8401 Greenway Blvd, Middleton, WI, USA
<http://www.compuTherm.com>

建立热力学描述(数据库)

平衡条件: $G = G(T, P, n_j)$ 在 $dT = dP = dn_j = 0$ 时, 达到最小值。

使用单独的 G^φ 模型描述每一个相

建立Gibbs能函数 G^φ 的表达式



气相 $G^\varphi(T, P)$

$$G_m^{gas} = \sum_{i=1}^{s(gas)} y_i [G_i^{0,\varphi}(T) + RT \ln(y_i \frac{P}{P_0})]$$

i : 元素原子, 气相分子, O₂, O, O₃, CO, CO₂...

$$G_i^{0,\varphi}(T) = A + BT + CT \ln T + DT^2 + ET^3 + FT^{-1} + \dots$$

```
Function GHSERO 298.15 -3480.87-25.503038*T-11.1355*T*LN(T)-5.098875E-3*T**2
+0.661845833E-6*T**3-38365*T**(-1); 1000 Y .....
Function GGAS_O1 298 +243206.529-42897.0876*T**(-1)-20.7513421*T
-21.0155542*T*LN(T)+1.26870532E-04*T**2-1.23131285E-08*T**3; 2950 Y ...
Function GGAS_O2 298 +2*GHSERO; 6000 N !
```

```
Phase Gas:G % 1 1 !
Constituent Gas :O,O2,O3 ...:!
Parameter G(Gas,O;0) 298 +GGAS_O1 +RTLNP; 6000 N !
Parameter G(Gas,O2;0) 298 +GGAS_O2 +RTLNP; 6000 N !
```

SGTE 数据库中只有O₂和N₂的 $G_i^{0,\varphi}(T)$ 。

NIST 数据库: ΔH ; S_{298} , C_p <http://webbook.nist.gov/chemistry/>

溶液相模型(无序液相, 置换固溶体)

$$G^\varphi = \sum_i x_i \cdot G_i^{0,\varphi} + RT \sum_i x_i \ln x_i + G^{ex,\varphi}$$

$\text{ref } G_m$
 $\text{conf } G_m$

Liquid	Solid α
A A	A A A
A B	A A B
B A B	B A A
B A B	A A A

$$G^{ex,\varphi} = \sum_{i,j>i} x_i \cdot x_j \cdot \sum_v L_{i,j}^{v,\varphi} \cdot (x_i - x_j)^v$$

$G_i^{0,\varphi}$: $i = A, B$, endmember (Lattice stability) 必须给出

$L_{i,j}^{v,\varphi}$: interaction parameters: 根据需要优化

纯元素 (SGTE 数据)

<https://www.sgte.net/en/free-pure-substance-database>

目前版本: unary50.tdb: Updated 2 June 2009

Alan Dinsdale, SGTE Data for Pure Elements, Calphad Vol 15(1991) pp. 317-425

阅读这篇文章: 数据格式介绍, 数据的来源, 各个参数的含义。

G-HSER 的形式:

$$G_i^{0,\varphi} = G_i^{\varphi}(T) - H_i^{\text{SER}} = \mathbf{A} + \mathbf{B}T + \mathbf{C}T \ln T + \mathbf{D}T^2 + \mathbf{E}T^3 + \mathbf{F}T^{-1} + \dots$$

SER: 标准参考状态, $H_i^{\text{SER}} = 0$.

在Calphad领域, 采用 $P = 1 \text{ bar}$, $T = 298.15 \text{ K}$, 时的稳定相结构.

$H(T) = ?$ $S(T) = ?$ $C_p(T) = ?$

$G_i^{0,\varphi}$ 包括 **稳定相** 和 **亚稳相**

锌 Zn: Liquid, Hcp, bcc, fcc, **Lattice Stabilities**



纯组元的吉布斯能[91Din]

Data for Zn in the form of G-HSER

$$G_i^{0,\varphi} = G_i^{\varphi}(T) - H_i^{\text{SER}} = A + BT + CT \ln T + DT^2 \dots$$

HCP_A3 (Zn non ideal)

稳定相：基于实验数据

$$\begin{aligned} & -7285.787 + 118.470069 T - 23.701314 T \ln(T) - 1.712034E-3 T^2 - 1.264963E-6 T^3 \quad (298.15 < T < 692.68) \\ & -11070.559 + 172.34566 T - 31.38 T \ln(T) + 4.7051E26 T^{-9} \quad (692.68 < T < 1700) \end{aligned}$$

LIQUID

$G_i^{\varphi}(T)$

$$\begin{aligned} & -128.574 + 108.177079 T - 23.701314 T \ln(T) - 1.712034E-3 T^2 - 1.264963E-6 T^3 - 3.5896E-19 T^7 \quad (298.15 < T < 692.68) \\ & -3620.391 + 161.608594 T - 31.38 T \ln(T) \quad (692.68 < T < 1700) \end{aligned}$$

稳定相：基于实验数据

BCC_A2

$$\begin{aligned} & -4398.827 + 115.959669 T - 23.701314 T \ln(T) - 1.712034E-3 T^2 - 1.264963E-6 T^3 \quad (298.15 < T < 692.68) \\ & -8183.599 + 169.83526 T - 31.38 T \ln(T) + 4.7051E26 T^{-9} \quad (692.68 < T < 1700) \end{aligned}$$

FCC_A1

$$\begin{aligned} & -4315.967 + 116.900389 T - 23.701314 T \ln(T) - 1.712034E-3 T^2 - 1.264963E-6 T^3 \quad (298.15 < T < 692.68) \\ & -8100.739 + 170.77598 T - 31.38 T \ln(T) + 4.7051E26 T^{-9} \quad (692.68 < T < 1700) \end{aligned}$$

Data relative to HCP_A3 (Zn non ideal)

LIQUID

$$\begin{aligned} & 7157.213 - 10.29299 T - 3.5896E-19 T^7 \quad (298.75 < T < 692.68) \\ & 7450.168 - 10.737066 T - 4.7051E26 T^{-9} \quad (692.68 < T < 1700) \end{aligned}$$

BCC_A2

$$2886.96 - 2.5104 T \quad (298.75 < T < 1700)$$

FCC_A1

$$2969.82 - 1.56968 T \quad (298.75 < T < 1700)$$

$$G_i^{0,\varphi} = G_i^{\varphi,Hcp}(T) - G_i^{0,hcp}$$

$G_i^{\varphi}(T)$

[91Din] A.T. Dinsdale, SGTE data for pure elements, Calphad, 15 (1991) 317-425

TDB中G的绝对值与相对值

Function GHSERZN 298.15 (标准状态, 对于Zn为Hcp结构) 即: GHCPZN
-7285.787+118.470069*T-23.701314*T*LN(T)-.001712034*T**2
-1.264963E-06*T**3; 692.68 Y
0.000870323-11070.559+172.34566*T-31.38*T*LN(T)
+4.70514E+26*T**(-9); 1700 N !

Gibbs能函数G(T)可以分段, 但是分段函数之间应该连续的, 并且不仅G(T)要连续, G'(T)也要连续(对应为S), G''(T)也要连续(对应于Cp), G'''(T)也应该要连续(对应Cp')。 [2016Liang_Calphad_82.pdf]

绝对值表达式 (液相)

Function GLIQZN 298.15
-128.574+ 108.177079*T-23.701314*T*LN(T)-.001712034*T**2
-1.264963E-06*T**3-3.5896E-19*T**7; 692.68 Y
-3620.391+161.608677*T-31.38*T*LN(T); 2900 N !

相对值表达式 (液相)

Function GLIQZN 298.15
+7157.213-10.29299*T-3.5896E-19*T**7+GHSEZN; 692.68 Y
+7450.168-10.737066*T-4.7051E+26*T**(-9)+GHSEZN; 1700 N !

G值不连续

Database Name : D:_Work\7_TrainingClass\202005_Optimi
Case Sensitive : Yes

Warning (5)

Line	State	Message
20-21	Function GBCCZR 298.15 -525.5386908+124.9457*T-25.6009*T**3+25233*T**(-1)-7.6142894e-11*T**4; 2128 Y -30	G is discontinuous at T = 2128 K, G(T = 2128-)=-155398 J, G(T = 2128+)= -155540 J. dG = 142.638 J.
69-72	Function GGASO2Zr1 298.15 -4.1440146958E+5+3.1507192*T**2+1.8576154371E-6*T**3+2.9451754856E+5*T**(-1)-6.447477978E+1*T*LN(T)+2.7376810723E-3*T**2-2.201	G is discontinuous at T = 1100 K, G(T = 1100-)=-720754 J, G(T = 1100+)= -720717 J. dG = -36.192 J.
73-82	Function GGASZr1 298.15 +5.7449191494E+5+8.2104149638E+1*T-3.8691110000E+1*T*LN(T)+1.1528460000E-2*T**2-1.6932550000E-6*T**3+2.7063880000E+5*T**(-1); 700 Y +5.8360536701E+5-1.8366020705E+1*T-2.4061060000E+1*T*LN(T)+1.7436410000E-3*T**2-5.9431233333E-7*T**3-7.4894750000E+5*T**(-1); 1300 Y +5.8145674711E+5+5.8145674711E+5*T-2.0463610000E+1*T*LN(T)-2.9610840000E-3*T**2+1.0839143333E-7*T**3+5.2635250000E+5*T**(-1); 2700 Y +6.1836012548E+5-1.5427834040E+2*T-6.6473430000E+0*T*LN(T)-4.6738955000E-3*T**2+1.0683358333E-7*T**3-1.5872340000E+7*T**(-1); 6600 Y +4.9187534554E+5+1.3950085082E+2*T-4.0688010000E+1*T*LN(T)-6.3835700000E-4*T**2+1.7912533333E-8*T**3+7.1496950000E+7*T**(-1); 10000 N !	G is discontinuous at T = 1300 K, G(T = 1300-) = 336518 J, G(T = 1300+) = 7.5628e+08 J. dG = -7.55944e+08 J.

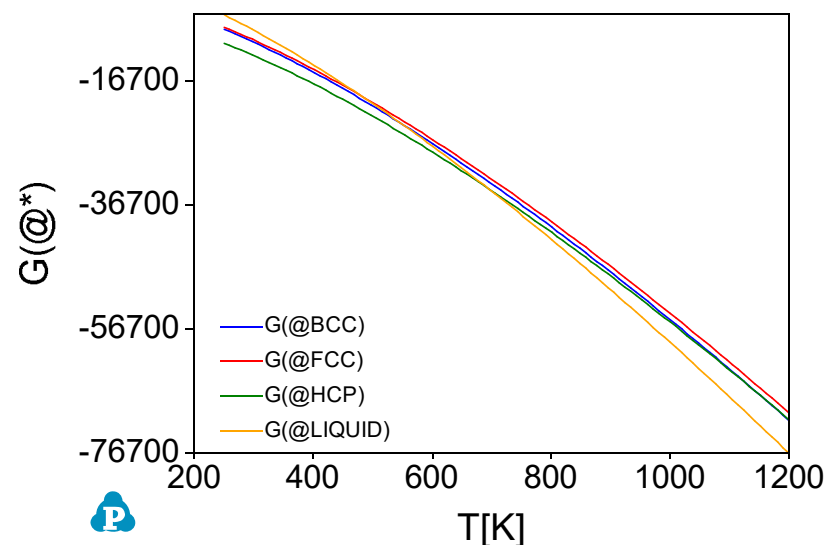
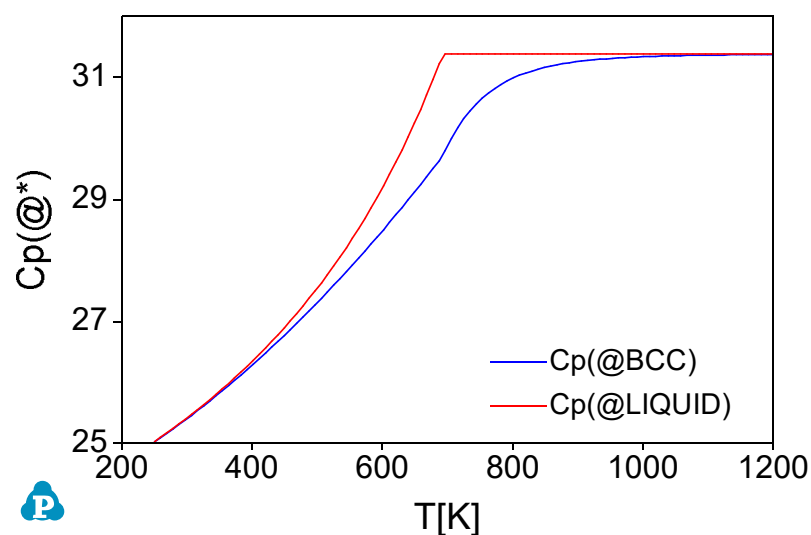
Pandat热力学性质计算练习（一）

TDB文件: Zn.tdb 用Excel文件, 以 Zn.tdb 中G函数为输入值, 计算出不同结构 (液相、Hcp、Bcc、Fcc)下 Zn的G, H, S 和Cp值。

然后将excel 计算的结果与Pandat计算结果对比。



计算组元的G, H, S, Cp 值



如果SGTE 数据库中 没有 $G_i^{0,\varphi}$

Mg-Si体系:

Si 是金刚石结构 (diamond). Mg在Si中有固溶度, 采用置换型溶液模型, 一个亚点阵。Diamond 相的亚点阵为(Mg, Si).

SGTE 数据中有 $G_{Si}^{0,Diamond}$, 但是没有 $G_{Mg}^{0,Diamond}$,

Mg的稳定结构为Hcp, 有 $G_{Mg}^{0,Hcp}$

常用的估计方法:

结合第一原理计算

$$G_{Mg}^{0,Diamond} = G_{Mg}^{0,Hcp} + 50000;$$

$$G_{Mg}^{0,Diamond} = G_{Si}^{0,Hcp} + 30 \cdot T;$$

$$G_{Mg}^{0,Diamond} = G_{Mg}^{0,Hcp} + 74780$$

<http://oqmd.org/>

<https://materialsproject.org/>

2016Liang_Calphad_82.pdf



CompuTherm
FOR MATERIALS DESIGN

www.computherm.com

上海思响信息科技有限公司

9

$G^{ex,\varphi}$, Redich-Kister表达式

$$G^{ex,\varphi} = \sum_{i,j>i} x_i \cdot x_j \cdot \sum_v L_{i,j}^{\nu,\varphi} \cdot (x_i - x_j)^\nu$$

i, j 是组元, ν 是交互作用参数的级数 (order of interaction parameter)

二元 A-B 体系

$$G^{ex} = x_A \cdot x_B (L_{A,B}^0 + L_{A,B}^1 \cdot (x_A - x_B) + L_{A,B}^2 \cdot (x_A - x_B)^2 + L_{A,B}^3 \cdot (x_A - x_B)^3 \dots)$$

其中:

$$L_{A,B}^i \ (i=1,2,3) = a_i + b_i \cdot T$$

交互作用参数

$L_{A,B}^i$ 通常为温度的**线性关系**,

特殊情况是选用**指数方程**或**LET方程**^[2016Lia]。

一般最高到3阶, 即 L^3 , 极少数到 L^4 。

[2016Lia] S.-M. Liang, P. Wang, R. Schmid-Fetzer, Inherently consistent temperature function for interaction parameters demonstrated for the Mg-Si assessment, Calphad, 54 (2016) 82-96.



两种液相模型

置换溶液模型 (substitutional solution model)

$$G^\varphi = \sum_i x_i \cdot G_i^{0,\varphi} + RT \sum_i x_i \ln x_i + G^{ex,\varphi}$$

Mg-Ca-O 体系:

Liquid: $i = \text{Mg, Ca, O}$

LIQOX: $i = \text{MgO, CaO}$

x_i 是组元 i 的摩尔分数

CaMgO_TwoLiquid.tdb

CaO-MgO_LIQOX.tdb

缔合物模型 (Associate model)

$$G^\varphi = \sum_i y_i \cdot G_i^{0,\varphi} + RT \sum_i y_i \ln y_i + G^{ex,\varphi}$$

Mg-Ca-O 体系: $i = \text{Mg, MgO, Ca, CaO, O}$

y_i 是组元 i 的点阵分数 \neq 摩尔分数

CaMgO_ASSModel.tdb

CaO-MgO TDB 文件

Element	Ca	Fcc	40.078	5736	41.588 !
Element	Mg	Hcp	24.305	4998	32.671 !
Element	O	1/2_MOLE_O2 (G)	15.999	4341	102.52 !
Species	CaO	Ca1O1	!		
Species	MgO	Mg1O1	!		

CaMgO_ASSModel.tdb

Phase Liquid:L % 1 1 !

Constituent Liquid:L :Ca,CaO,Mg,MgO,O:!

Parameter	G(Liquid,Ca;0)	298.15	+GLIQCA; 6000 N !
Parameter	G(Liquid,Mg;0)	298.15	+GLIQMG; 6000 N !
Parameter	G(Liquid,O;0)	298.15	+GLIQO; 6000 N !
Parameter	G(Liquid,CaO;0)	298.15	+GLIQCAO; 6000 N !
Parameter	G(Liquid,MgO;0)	298.15	+GLIQMGO; 6000 N !
Parameter	G(Liquid,Ca,Mg;0)	298.15	-32322.4+16.7211*T; 6000 N !

$G_i^{0,Liquid}$

$L_{Ca,Mg}^{0,Liquid}$

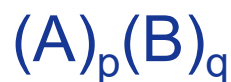


化合物能量模型(CEF 模型)

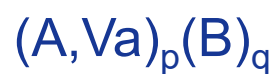
$$G^\varphi = \sum_{i,j} y_i^I \cdot y_j^{II} \cdot G_{i,j}^{0,\varphi} + pRT \sum_i y_i^I \ln y_i^I + qRT \sum_j y_j^{II} \ln y_j^{II} + G^{ex,\varphi}$$

ref_G
 conf_G

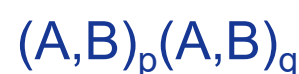
Solid 1	Solid 2	Solid 3
B B B	B B B	B A B
A A	o A	B A
B B B	B B B	B B A
A A	o o	A B
B B B	B B B	B B B



计量化合物



间隙固溶体



置换型多点阵固溶体

$G_{i,j}^{0,\varphi}$: $i, j = A, B$, endmember 必须给出

Parameter G (Cu2Mg_C15, Cu:Cu;0)

计量化合物模型

计量化合物 A_pC_q 作为体系金属间相

$$(A)_p(C)_q \quad \text{温度}(T): \quad pA + qC = A_pC_q \quad G_{ApCq}(T) = G_{A:C}^{0,\varphi}$$

$$\Delta G(T) = G_{A_pC_q}(T) - pG_A(T) - qG_C(T) = \Delta H - T\Delta S$$

$$\Rightarrow G_{A_pC_q}(T) = \Delta H - T\Delta S + pG_A(T) + qG_B(T) \quad \text{浮动参考态}$$

$$\boxed{G_{A_pC_q}(T)} = \mathbf{A + BT} + \boxed{pG_A(T)} + \boxed{qG_B(T)} \quad \text{化学方应}$$

$$C_p(A_pC_q) = pC_p(A) + qC_p(B) \quad \text{Neumann-Kopp rule}$$

计量化合物 A_pC_q 是系统组元(component)

绝对参考态

$$G_{ApCq}(T) = \mathbf{A + BT + CT \ln T + DT^2 + ET^3 + FT^{-1} + \dots}$$

浮动参考态 vs 绝对参考态

Al₄Sr为例

浮动参考态 (Floating reference state)

$$G_{\text{Al:Sr}}^{\text{Al}_4\text{Sr}}(T) = -26701 + 4.118T + 0.8 G_{\text{Al}}^{0,\text{fcc}}(T) + 0.2 G_{\text{Sr}}^{0,\text{fcc}}(T)$$

Parameter G (Al₄Sr, Al:Sr; 0) 298.15 -26701+4.118*T
+0.8*GFCCAL+0.2*GFCCSR; 6000 N !

-26701 J/mol-atoms = enthalpy of formation (T-independent)

-4.118 J/mol-atoms K = entropy of formation (T-independent)

绝对参考态 (Absolute reference state)

$$G_{\text{Al:Sr}}^{\text{Al}_4\text{Sr}}(T) = a + bT + cT \ln(T) + dT^2 + \dots + 0.8 \boxed{G_{\text{Al}}^{0,\text{fcc}}(298\text{K})} + 0.2 \boxed{G_{\text{Sr}}^{0,\text{fcc}}(298\text{K})}$$

常数

a, b ; determined from (but not equal to) enthalpy and entropy at 298.15K

c, d, \dots ; determined from experimental C_p of Al₄Sr

$$G_{\text{M}_x\text{N}_y}(\text{T}) = \text{A} + \text{BT} + \text{CT} \ln \text{T} + \text{DT}^2 + \text{ET}^3 + \text{FT}^{-1} + \dots$$

Parameter G (Al₄Sr, Al:Sr; 0) 298.15 -177788+535.06*T
-94.4169*T*LN (T) -0.0534*T**2+6.93E-06*T**3;

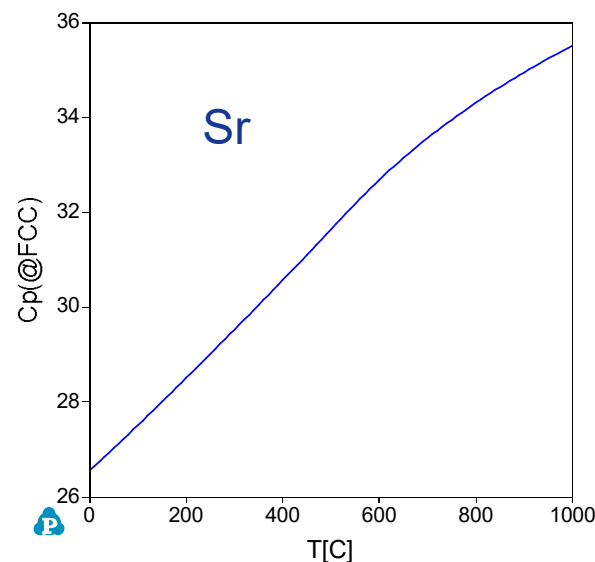
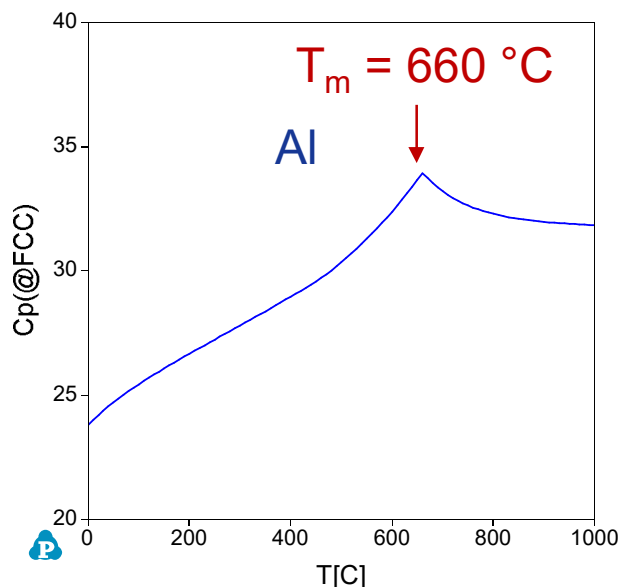
S.-M. Liang, et al., Key experiments and thermodynamic revision of the binary Al-Sr system, J. Alloys Compd., 610 (2014) 443-450.



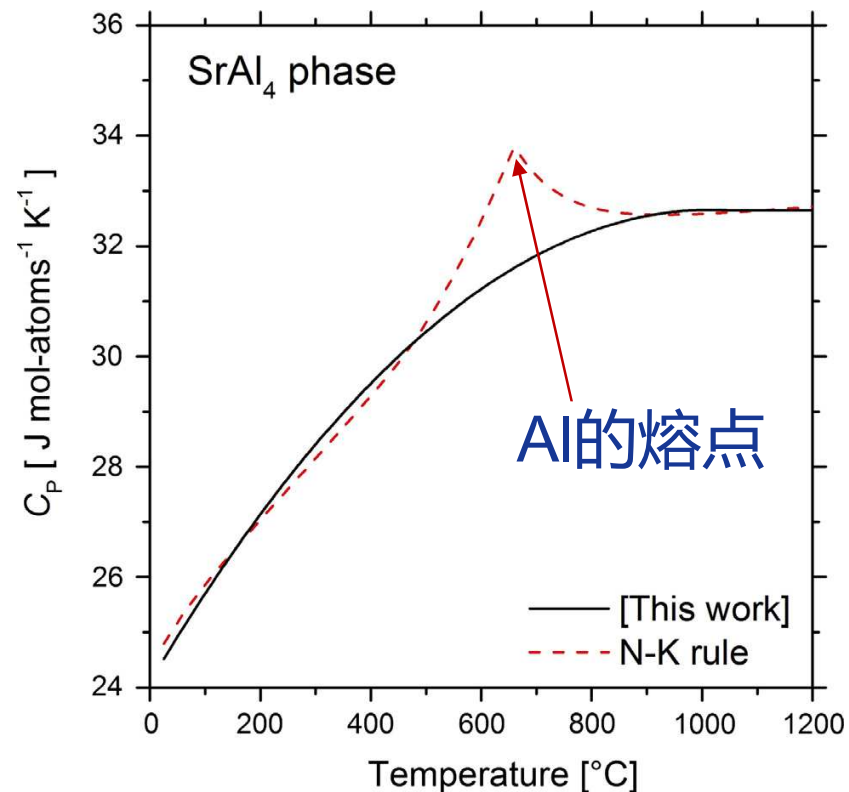
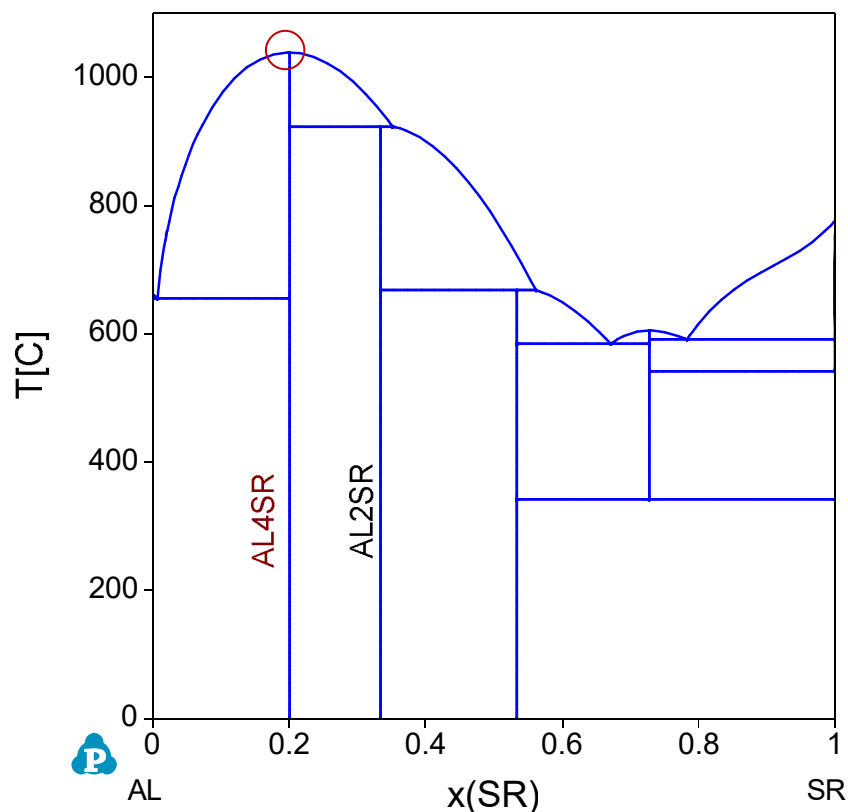
浮动参考态

Function **GHSERAL** 298.14 -7976.15+137.093038*T-24.3671976*T*ln(T) -
 0.001884662*T**2-8.77664e-007*T**3+74092*T**(-1); **700 Y**
 -11276.24+223.048446*T-38.5844296*T*ln(T)+0.018531982*T**2-5.764227e-
 006*T**3+74092*T**(-1); **933.47 Y**
 -11278.378+188.684153*T-**31.748192***T*ln(T)-**1.230524e+028***T**(-9); 2900 N !
 Function **GHSESR** 298.14 -7532.367+107.183879*T-23.905*T*ln(T)
 -0.00461225*T**2-1.67477e-007*T**3-2055*T**(-1); **820 Y**
 -13380.102+153.196104*T-30.0905432*T*ln(T)
 -0.003251266*T**2+1.84189e-007*T**3+850134*T**(-1); 3000 N !

$$G(\text{Al}_4\text{Sr}, \text{Al}:\text{Sr}; 0) = -26701 + 4.118 \cdot T + 0.8 \cdot \text{GFCCAL} + 0.2 \cdot \text{GFCCSR}$$



浮动参考态 vs 绝对参考态



浮动参考态: 简单, 意义明确。 $\Delta G = A + B T$; A 对应形成焓, $-B$ 对应形成熵。

缺点: 稳定相的 C_p 于实际不符, 产生假象。



参考状态在pop文件中表述

\$ enthalpy of formation of Al4Sr phase

EXPERIMENT **HMR**(AL4SR): 3000

SET_REFERENCE_STATE AL FCC * 1E5

SET_REFERENCE_STATE SR FCC * 1E5

$\Delta_f H_{298}$

生成(形成)焓

HMR:

H means enthalpy.

M: mole of atoms. i.e. $\text{Al}_{0.8}\text{Sr}_{0.2}$

R: means set_reference_state 命令后设定的Reference state.

如果不写, 默认为GHSER 的参考态。**HM** 即Al4Sr 相的 $H_{298}-H_0$ 值。

$$G_{\text{Al:Sr}}^{\text{Al4Sr}}(T) = A + B T + 0.8 G_{\text{Al}}^{0, \text{fcc}}(T) + 0.2 G_{\text{Sr}}^{0, \text{fcc}}(T)$$

设定 **HMR**(AL4SR)= -29051:3000 \Rightarrow **A = - 29051 \pm 3000**

实际上 $\Delta_f H_{298} = \Delta_f H_T$

参考状态在pop文件中表述

\$ entropy of formation of Al4Sr phase

EXPERIMENT **SMR**(AL4SR)= - 4.2:1

SET_REFERENCE_STATE **AL** FCC * 1E5

SET_REFERENCE_STATE **SR** FCC * 1E5

SMR:

S means entropy.

$$G_{\text{Al:Sr}}^{\text{Al4Sr}}(T) = A + B T + 0.8 G_{\text{Al}}^{0,\text{fcc}}(T) + 0.2 G_{\text{Sr}}^{0,\text{fcc}}(T)$$

设定 **SMR**(AL4SR)= - 4.2:1 \Rightarrow $B = 4.2 \pm 1$

$$\Delta_f S_{298}$$

生成(形成)熵

可能为负值
也可能为正值

\$ absolute entropy at 298 K: Al4Sr phase

SET_CONDITION T=298.15

EXPERIMENT **SM**(AL4SR)= 25:2

~~SET_REFERENCE_STATE AL FCC * 1E5~~

~~SET_REFERENCE_STATE SR FCC * 1E5~~

$$S^{\circ}_{298}$$

绝对熵

肯定是正值

间隙固溶体



$$G^\varphi = \sum_{i,j} y_i^I \cdot y_j^{II} \cdot G_{i:j}^{0,\varphi} + pRT \sum_i y_i^I \ln y_i^I + qRT \sum_j y_j^{II} \ln y_j^{II} + G^{ex,\varphi}$$



$$G_{ApBq}(T) = G_{A:B}^{0,\varphi}(T)$$

Endmember 必须给出

$$G_{ApVa q}(T) = G_{A:Va}^{0,\varphi}(T) = G_A^{0,\varphi}$$

Endmember (Lattice stability)


Fcc, Bcc, Hcp: 如果整个数据库中第二个亚点阵都没有任何间隙原子填充, 即没有 $G_{A:B}^{0,\varphi}(T)$, 仅仅只是空位, $G_{A:Va}^{0,\varphi}(T)$ 。此时两个亚点阵模型就可以简化为一个亚点阵模型。



多亚点阵置换型固溶体相

ϕ 相: $(A,B)_p(A,B)_q$

$$G^\phi = \sum_{i,j} y_i^I \cdot y_j^{II} \cdot G_{i:j}^{0,\phi} + pRT \sum_i y_i^I \ln y_i^I + qRT \sum_j y_j^{II} \ln y_j^{II} + G^{ex,\phi}$$

$\text{ref } G$ 

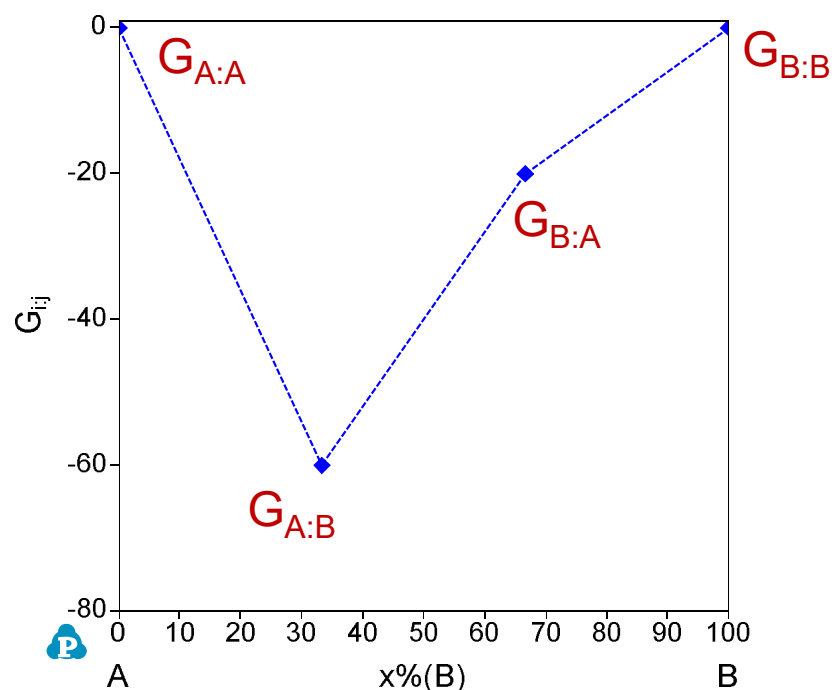
Endmember 值:

$G_{A:A}^{0,\phi}$: ϕ 相 全部为 A原子

$G_{B:B}^{0,\phi}$: ϕ 相 全部为 B原子

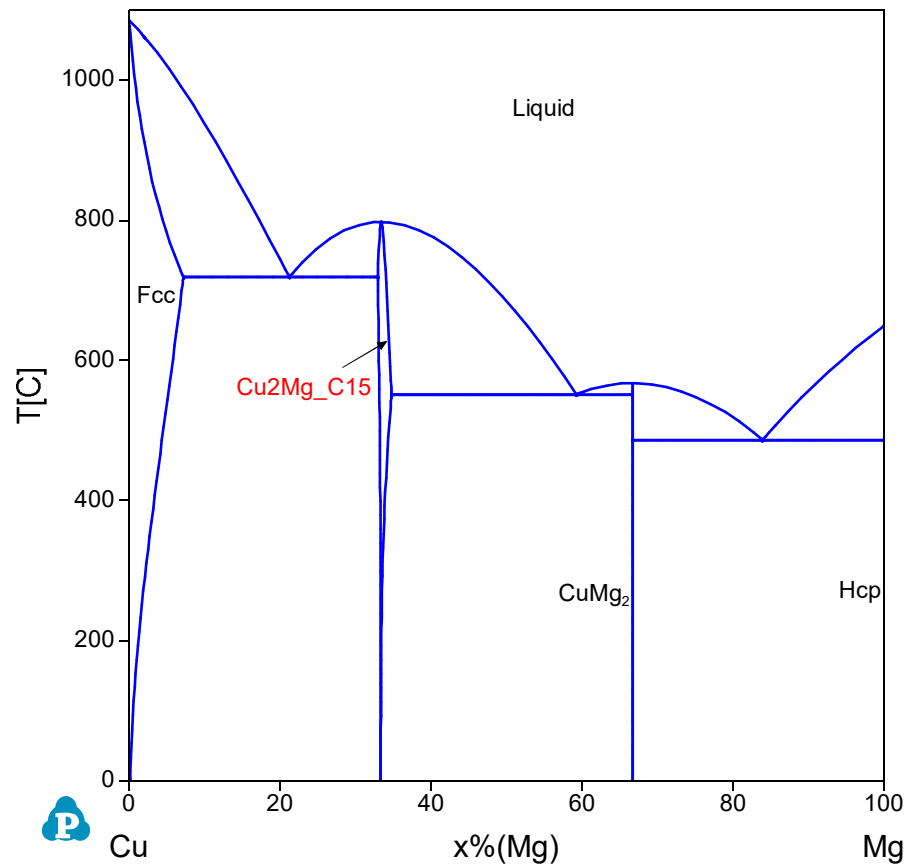
$G_{A:B}^{0,\phi}$: ϕ 相 为 A_pB_q

$G_{B:A}^{0,\phi}$: ϕ 相 为 B_pA_q



Endmember 值 确定了相的Gibbs能曲线的主要形状。

Cu-Mg 相图



稳定相附件的endmember值,
有**Cp**数据: 采用绝对参考态。
亚稳endmember值: 相对参考态。

Cu2Mg_C15:
(Cu, Mg)₂(Cu,Mg)₁

$$G_{\text{Cu:Cu}}^{\text{C15}} = 21014.88 + 3 * \text{GHSERCU.}$$

$$G_{\text{Mg:Mg}}^{\text{C15}} = 27357.33 + 3 * \text{GHSERMG}$$

$$G_{\text{Cu:Mg}}^{\text{C15}} = -54690.99 + 364.73085 * T \\ - 69.276417 * T * \ln(T)$$

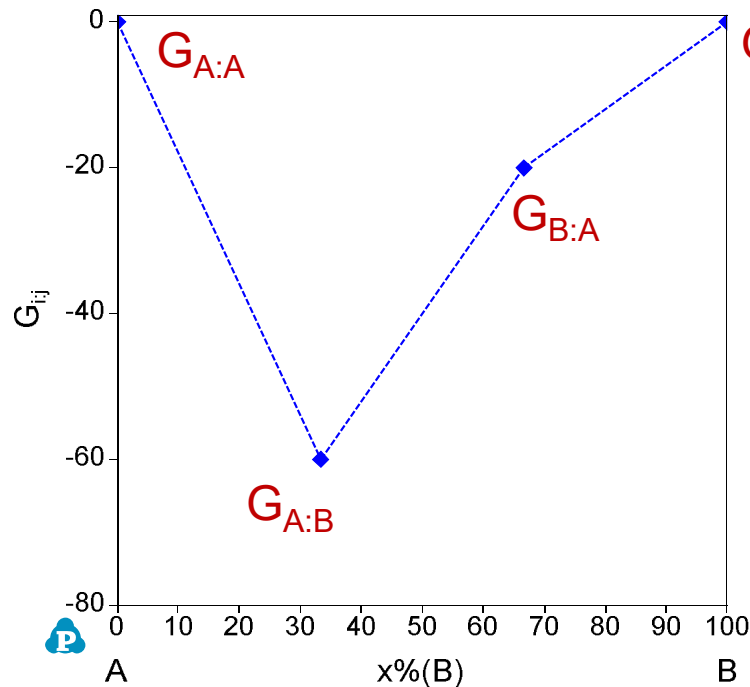
$$- 5.1925 \text{E-}4 * T^{**2} + 143502 * T^{**}(-1)$$

$$G_{\text{Mg:Cu}}^{\text{C15}} = +105000 -$$

$$16.5 * T + 2 * \text{GHSERMG} + \text{GHSERCU}$$

$$G^{ex,\varphi}$$

$$G^{ex,\varphi} = y_A^I y_B^I \cdot y_A^{II} \cdot L_{A,B:A}^\varphi + y_A^I y_B^I \cdot y_B^{II} \cdot L_{A,B:B}^\varphi \\ + y_A^{II} y_B^{II} \cdot y_A^I \cdot L_{A:B,A}^\varphi + y_A^{II} y_B^{II} \cdot y_B^I \cdot L_{B:A,B}^\varphi$$



TDB 文件中逗号和冒号，分号的含义

$G(\text{Cu2Mg_C15}, \text{Cu}, \text{Mg} : \text{Cu}; 0)$ $L_{\text{Cu,Mg:Cu}}^\varphi$

$G(\text{Cu2Mg_C15}, \text{Cu}, \text{Mg} : \text{Mg}; 0)$ $L_{\text{Cu,Mg:Mg}}^\varphi$

$G(\text{Cu2Mg_C15}, \text{Cu} : \text{Cu}, \text{Mg}; 0)$ $L_{\text{Cu:Cu,Mg}}^\varphi$

$G(\text{Cu2Mg_C15}, \text{Mg} : \text{Cu}, \text{Mg}; 0)$ $L_{\text{Mg:Cu,Mg}}^\varphi$

Questions?



实验数据

➤ 晶体结构

根据晶体结构选择合适的模型

➤ 物理性质(磁性, 摩尔体积)

➤ 热力学性质数据

液相: 比热, 混合焓, 活度, 蒸汽压 等

固相: 比热, 形成焓, 电动势, 分解压 等

➤ 相平衡数据: 实验相图

相图边界, 相区等。

热力学数据

- 量热数据(Calorimetric data): **Enthalpy** of mixing, ~ of formation, ~ of transformation
- 电动势(EMF), Knudsen cell data: 化学势, 活度
- 相分压(partial pressure): 活度
- DSC: 比热, **Enthalpy** of transformation (相变热, 相变焓)

相平衡数据

- DTA/DSC: start/end temperatures of transformations
- Microscope(OM,SEM, TEM): phase identification, determining phase amounts
- EPMA (EDX) : phase identification, phase compositions (tie-lines)
- XRD: phase identification, lattice parameters.
- Neutron diffraction: site occupancies

实验数据的处理过程

➤ 尽量收集全部数据

综述性论文,

JPED (H. Okamoto: 二元体系, V. Raghavan多元体系)

MSI Euraka

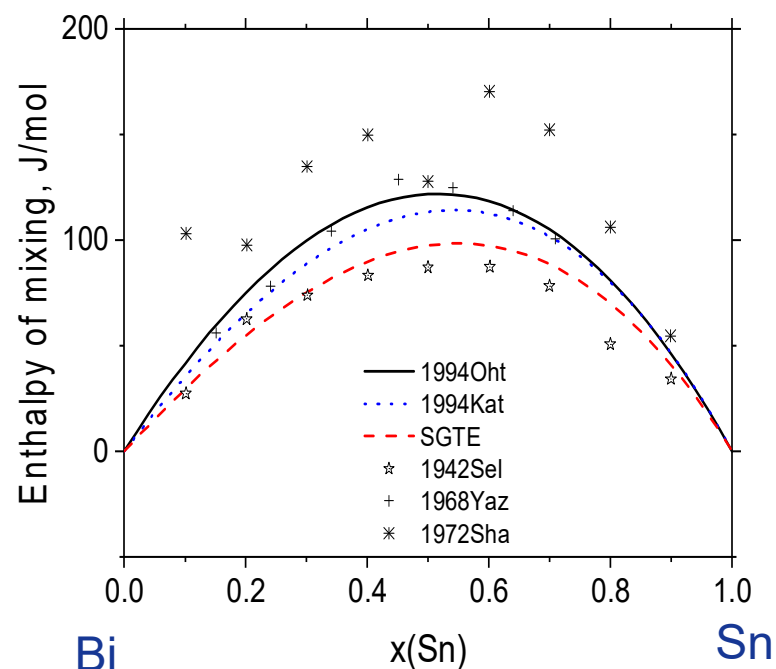
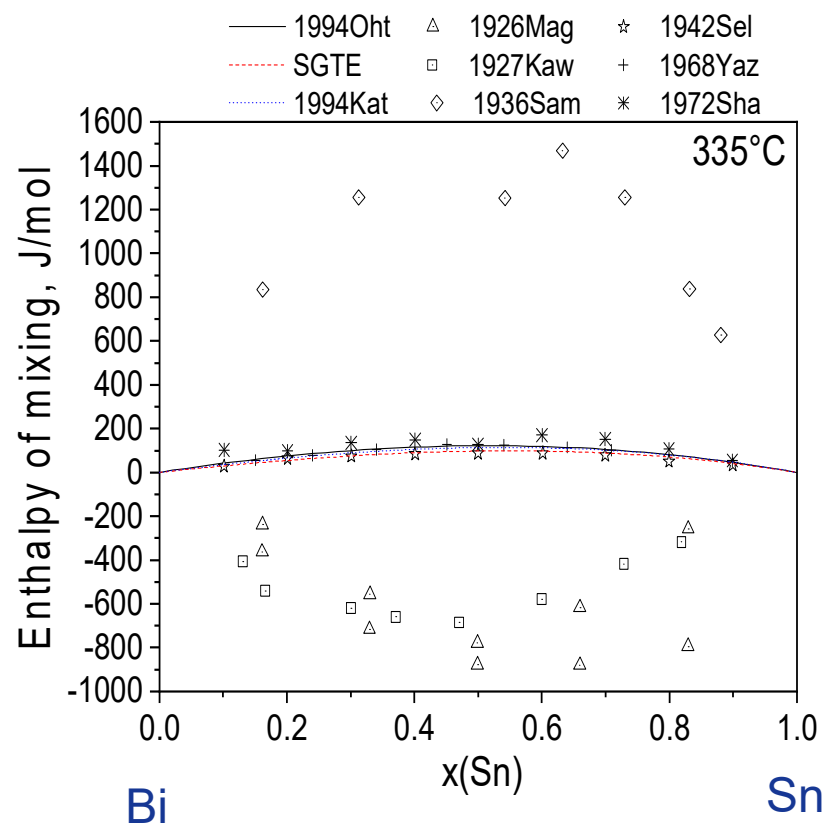
ASM Handbook

➤ 尽量查找原始文献

➤ 合理分析实验数据

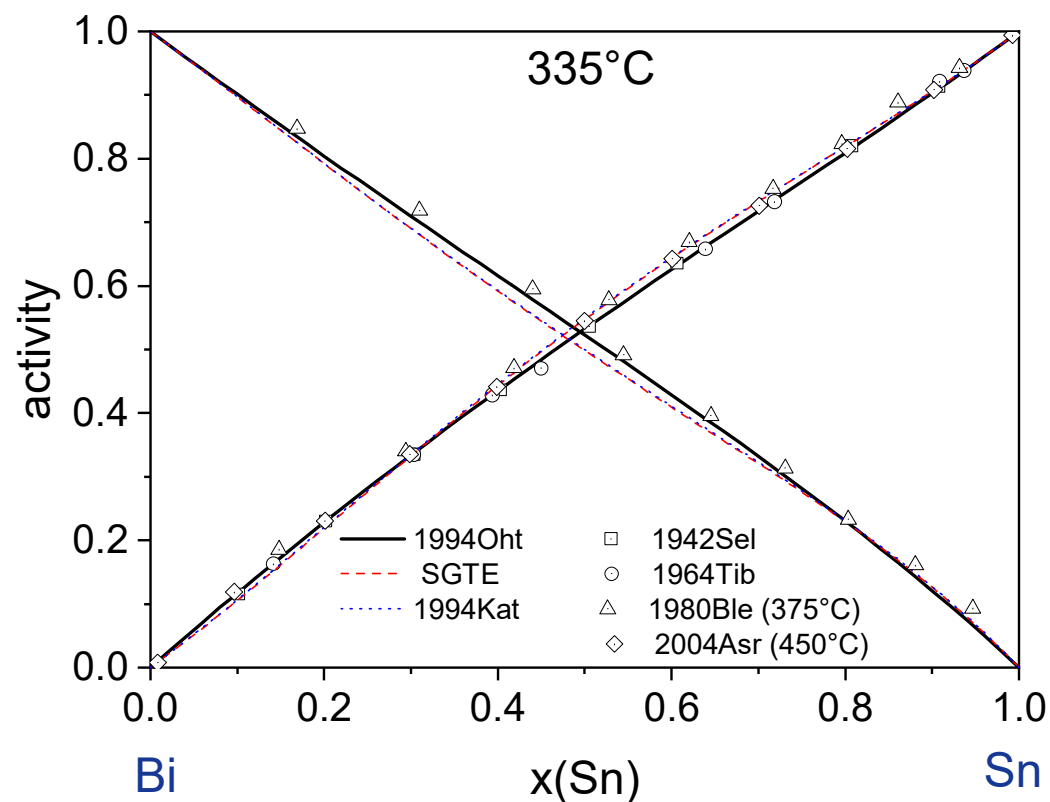
➤ 建立POP文件

实验数据

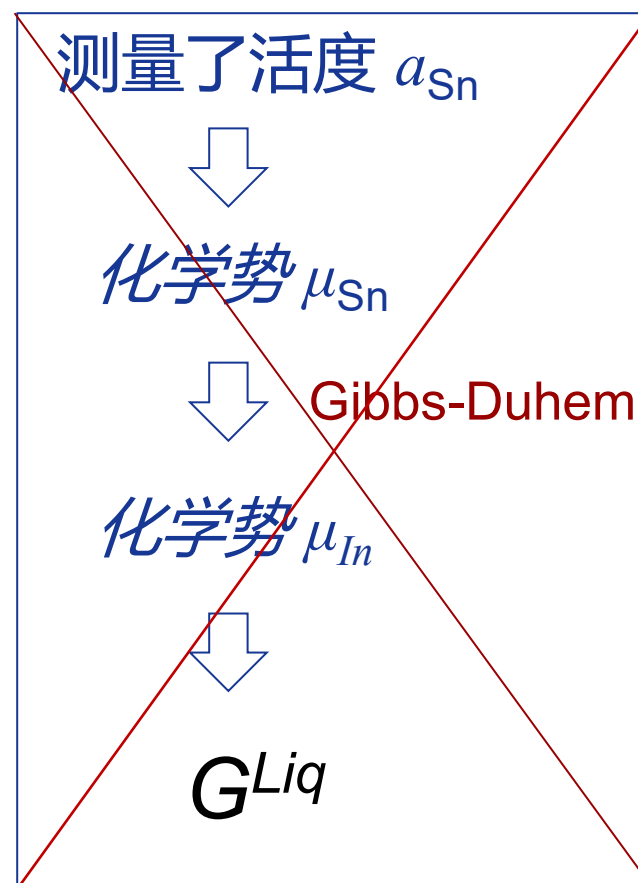


有三组数据明显非常分散

实验数据



实验点是测量值



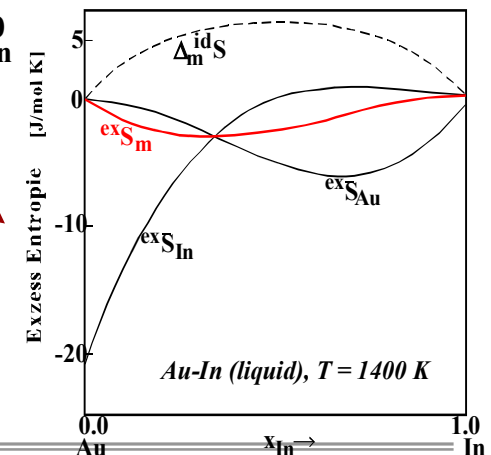
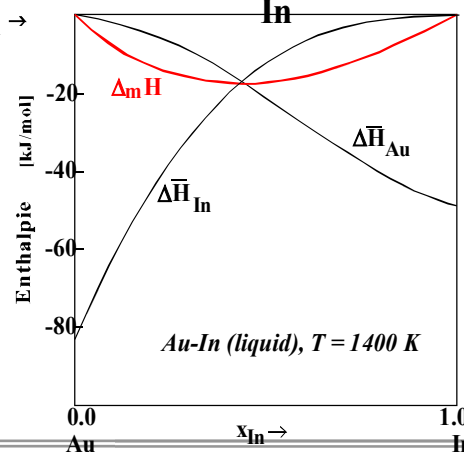
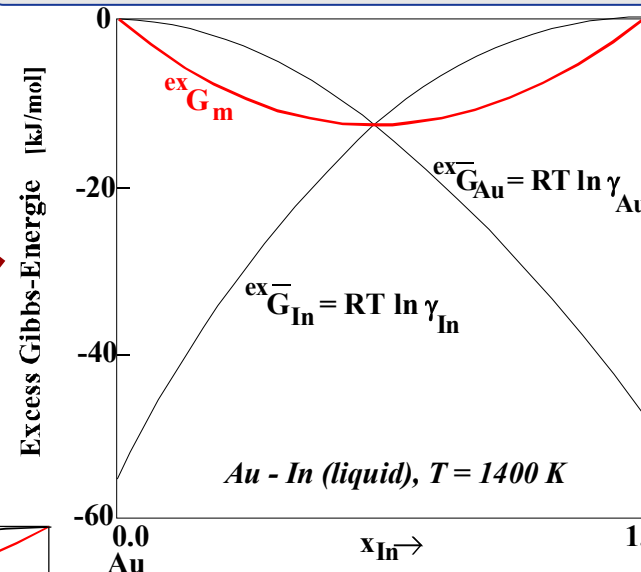
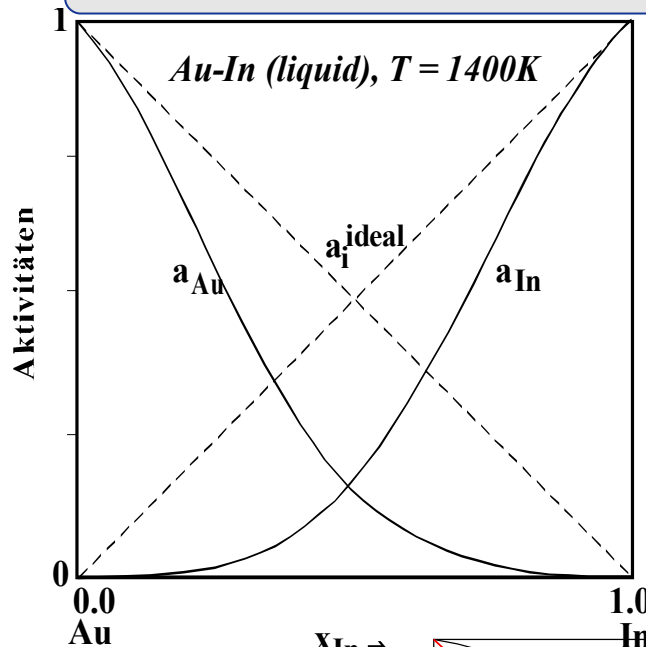
NOT CALPHAD SPIRIT

一致性 (Consistency)

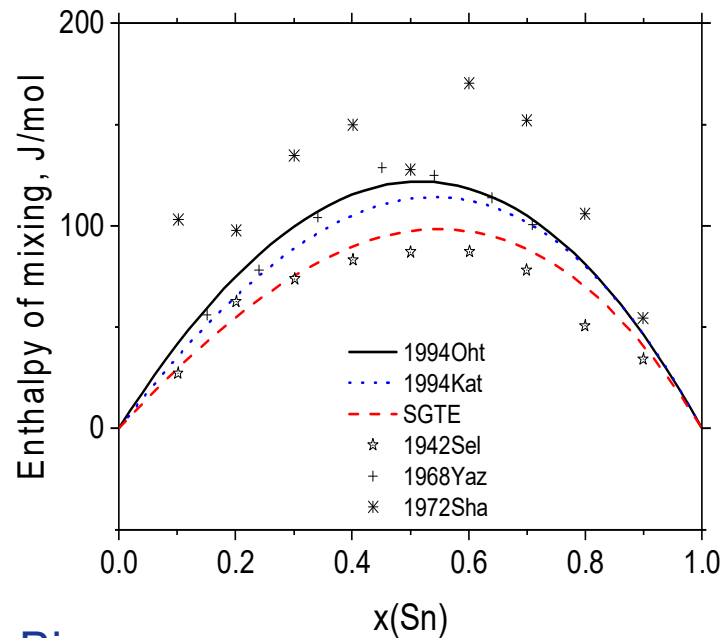
Never produce separate model for **partial quantities**!

Derive $a_i(T, x_i)$ from *integral* quantity, G^{ex}

Forget about the Gibbs-Duhem integration method (not trivial in ternary...)



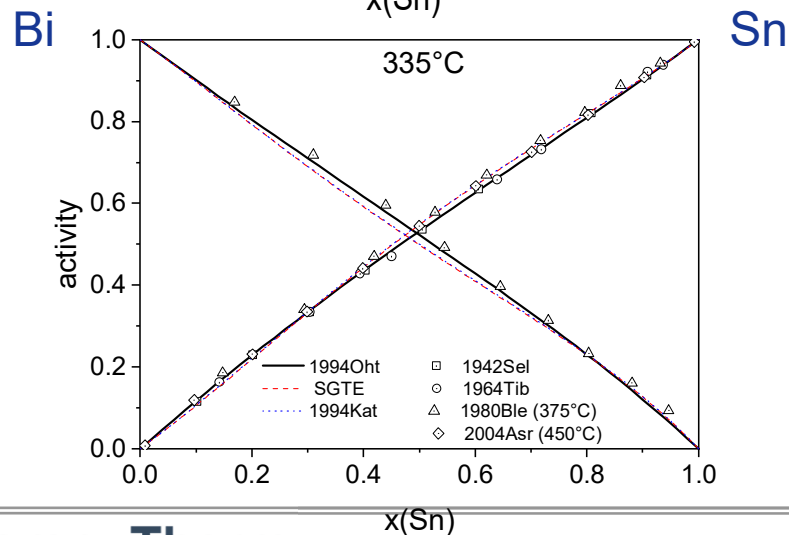
参考状态



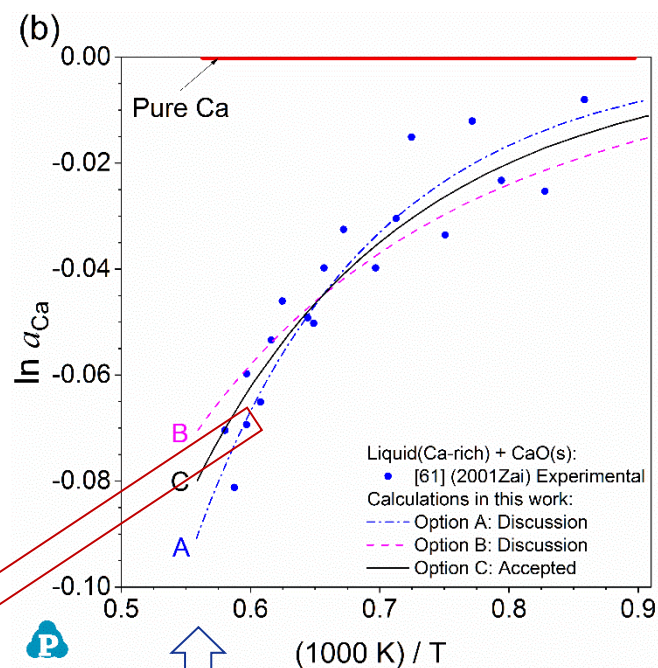
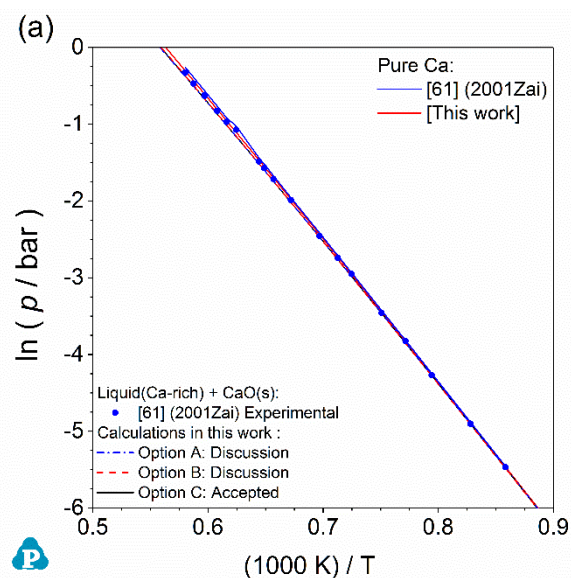
Enthalpy of mixing
液相是参考状态

EXPERIMENT **HMR**(LIQUID): @2:DH
EXPERIMENT **ACR**(LIQUID): @3:DA

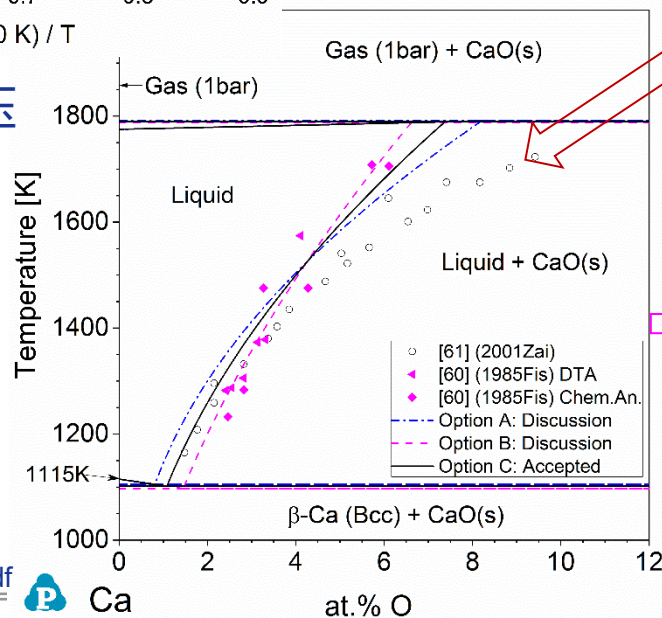
SET_REFERENCE_STATE **BI** LIQUID * 1E5
SET_REFERENCE_STATE **SN** LIQUID * 1E5



实验数据



Ca的分压



— · — · — 只用蓝色活度数据优化

$$L_0^{\text{liquid}} = -12500 + 10 \cdot T$$

— — — 只用粉色相图数据优化

$$L_0^{\text{liquid}} = -33850 + 24 \cdot T$$

—— 上面两个参数的平均值

$$L_0^{\text{liquid}} = -23175 + 17 \cdot T$$

Questions?

